

فصلنامه گیاهان دارویی

Journal homepage: www.jmp.ir

مقاله تحقیقاتی

ارزیابی سمیت ژنتیکی نانوکپسول عصاره سنجد (*Elaeagnus angustifolia* L.) به دو روش برون‌تنی و درون‌تنینگار زمانی^۱، معصومه حشمتی^۲، سپیده اربابی بیدگلی^{۳*}^۱ مرکز تحقیقات علوم دارویی، دانشگاه علوم پزشکی آزاد اسلامی تهران، تهران، ایران^۲ گروه علوم سلولی و مولکولی، دانشکده علوم و فناوری‌های نوین، دانشگاه علوم پزشکی آزاد اسلامی تهران، تهران، ایران^۳ گروه سم‌شناسی داروشناسی، دانشکده داروسازی و علوم دارویی، دانشگاه علوم پزشکی آزاد اسلامی تهران، تهران، ایران

چکیده

اطلاعات مقاله

گل‌واژگان:

ایمز

ژنوتوکسیسیتی

میکرونوکلئوس

نانوکپسول سنجد

مقدمه: اگرچه سنتز و مطالعات اولیه بر روی نانوکپسول سنجد دلالت بر اثربخشی آن در پوکی استخوان در مدل تجربی موش صحرایی داشته و با افزایش معنی‌دار سطح خونی کلسیم همراه بوده اما سمیت این نانوکپسول تاکنون مورد ارزیابی قرار نگرفته است. **هدف:** در این مطالعه سمیت ژنتیکی نانوکپسول سنجد با دو آزمون ایمز (برون‌تن) و میکرونوکلئوس (درون‌تن) ارزیابی شد. **روش بررسی:** جهت انجام آزمون ایمز، از دو سویه سالمونلاتیفی موریوم TA100 و TA98 و جهت آزمون میکرونوکلئوس از رت‌های نر و ماده، پس از تجویز ۴۵ روزه خوراکی نانوکپسول سنجد با دوز $1000 \mu\text{g/Kg}$ صورت گرفت. بدین منظور لئوسیت‌ها از طحال حیوانات تحت رژیم جدا شده و تعداد موارد میکرونوکلئوس در بین گروه‌های مورد و شاهد مقایسه شد. **نتایج:** علاوه بر اینکه نانوکپسول در آزمون ایمز فاقد هرگونه اثرات موتاژنیک بود، در مواجهه همزمان با سدیم آزاید، اثرات آنتی‌موتاژنیک بر روی هر دو سویه سالمونلاتیفی موریوم TA100 و TA98 را نیز به وضوح نمایش داد و این یافته با کاهش معنی‌دار و وابسته به دوز تعداد کلونی در رت‌های مختلف نانوکپسول سنجد و کنترل مثبت (سدیم آزاید) شناسایی شد ($P \leq 0/001$). لیکن نتایج مطالعه در آزمون میکرونوکلئوس افزایش معنی‌دار تعداد میکرونوکلئوس، پل‌های نوکلئوپلاسمی و جوانه‌های هسته‌ای نسبت به گروه کنترل را در هر دو جنس نر و ماده نمایش داد ($P \leq 0/001$). **نتیجه‌گیری:** با توجه به ارزش‌های درمانی نانوکپسول سنجد، بازنگری در ساختار نانوکپسول و تکرار مطالعه درون‌تن در دوزهای کمتر، پیش از انجام مطالعات کلینیکی این شکل اولیه دارویی ضرورت دارد.

مخفف‌ها: TNF- α ; Tumor Necrosis Factor α ; MMP-1; Matrix Metalloproteinase 1; IL-10; Interlukin10; OECD; The Organization for Economic Co-operation and Development; DETA; Diethylenetriamine; SLS; Sodium Lauryl Sulfate; DMSO; Dimethyl sulfoxide; RPMI; Roswell Park Memorial Institute Medium; MCE; Mixed Cellulose Ester; FBS; Fetal Bovine Serum; PHA; Phytohaemagglutinin; MIC; Concentration Minimum Inhibitory; H2A; Histone Family Member X; H2Ax; 8-OHO-1; 8-OHdG; NOAEL; No Observed Adverse Effect Level; SCE; Deoxyguanosine

* نویسنده مسؤول: s.arbabi@iautmu.ac.ir sepideharbabi@gmail.com

تاریخ دریافت: ۸ اسفند ۱۳۹۷؛ تاریخ دریافت اصلاحات: ۷ خرداد ۱۳۹۸؛ تاریخ پذیرش: ۸ خرداد ۱۳۹۸

doi: [10.29252/jmp.19.74.310](https://doi.org/10.29252/jmp.19.74.310)© 2020. Open access. This article is distributed under the terms of the Creative Commons Attribution-NonCommercial 4.0 International License (<https://creativecommons.org/licenses/by-nc/4.0/>)

۱. مقدمه

میوه گیاه *Elaeagnus angustifolia* L. معروف به اسامی سنجد، زیتون ایرانی، زیتون روسی و یا اولئاستر، میوه گیاهی از خانواده *Elaeagnaceae* است که از دیرباز در طب سنتی دارای جایگاه ویژه‌ای جهت درمان بیماری‌های مختلف بوده است [۱]. از مهم‌ترین کارآیی‌های این گیاه در طب سنتی می‌توان به قابلیت آن در تخفیف دردهای روماتوئیدی، استئو آرتريت، اختلالات گوارشی و بیماری آسم و موارد دیگر نام برد که البته این خواص و قابلیت‌های احتمالی دیگر گیاه می‌تواند به دلیل وجود اثرات آنتی‌اکسیدانی، ضدالتهابی، ضددردی، ضد میکربی، ضدتوموری و آنتی‌موتازنیک باشد اما صحت این کاربردها و مکانیسم‌های پیشنهادی، صرفاً مبتنی بر وجود مطالعات تجربی بوده و به ندرت در کارآزمایی‌های بالینی به اثبات نهایی رسیده است [۲].

از میان مکانیسم‌های اثر پیشنهادی، اثرات ضدالتهابی و آنتی‌اکسیدانی قابل توجهی برای سنجد شناسایی شده است که این اثرات مبتنی بر شناسایی گلیکوزیدهای قلبی، فلاونوئیدها، ترپنوئیدها و ساپونین‌ها در عصاره هیدروالکلی میوه سنجد [۳] یا بواسطه وجود مقادیر قابل توجهی از ترکیبات فنلی و آنتی‌سیانوزیدها بوده است [۴]. بر مبنای وجود این ترکیبات فنلی و آنتی‌سیانوزیدهای شناخته شده در یکی از معدود مطالعات کلینیکی بر روی این گیاه با مصرف روزانه ۱۵ گرم از *E. angustifolia* L. *medulla* و پودر کامل سنجد در یک دوره درمانی ۸ هفته‌ای در ۹۰ زن مبتلا به استئو آرتريت زانو، سایتوکاین‌های التهابی از جمله (-TNF α) Tumor Necrosis Factor α و Matrix (MMP-1) Metalloproteinase 1 به طور معنی‌داری کاهش یافته و سایتوکاین‌های ضدالتهابی از جمله Interlukin10 (IL-10) به شکل قابل ملاحظه‌ای افزایش یافته‌اند [۴]. اما علی‌رغم یافته‌های فوق درخصوص خواص آنتی‌اکسیدانی و

ضدالتهابی میوه سنجد، در عصاره سایر بخش‌های هوایی گیاه اثرات ضدالتهابی دیده نشده است [۵].

یکی از سیستم‌های دارورسانی کارآمد در داروسازی نوین، نانوکپسول‌ها هستند که به عنوان حاملی قابل قبول برای محبوس‌سازی و رهایش برنامه‌ریزی شده ترکیبات دارای فعالیت زیستی (Bioactive compounds) استفاده می‌شوند [۶]. اخیراً در صنعت داروسازی جهت تأمین اهداف مهمی از جمله دارورسانی هدفمند، افزایش جذب سیستمیک، افزایش برداشت بافتی، توزیع زیستی بیشتر و کاهش سمیت مولکول‌های شیمیایی از اشکال نانو کپسول استفاده شده است [۷]. به طور همزمان استفاده از این تکنولوژی، جهت ترکیبات گیاهی پرکاربرد در عرصه درمان، نظیر نانوکپسول کورکومین [۸]، نانو کپسول رزوراترول [۹] و دیگر موارد، باعث بروز تحولی قابل توجه در جهت اثربخشی داروها با عوارض جانبی محدودتر شده است.

نانو کپسول سنجد برای اولین بار توسط اسماعیلی و همکاران با استفاده از تکنولوژی امولسیون دیفیوژن جهت درمان پوکی استخوان تهیه شد [۱۰] و در مدل تجربی موش صحرایی باعث افزایش معنی‌دار سطح خونی کلسیم شد [۱۱] اما یکی از الزامات قانونی در فاز توسعه‌ای داروهای جدید انجام مطالعات سمیت است که از مهم‌ترین آنها سمیت ژنتیکی است که در این خصوص این نانو کپسول تاکنون به انجام نرسیده است. سمیت ژنتیکی نوعی پاسخ سمی است که بروز آن در مدل حیوانی می‌تواند با خطر بروز آسیب‌های DNA، موتاسیون، ناهنجاری‌های کروموزومی و کلاستوزنیزیس همراه باشد. مشاهده سمیت ژنتیکی در مدل‌های برون‌تن و درون‌تن معتبر می‌تواند با افزایش ریسک بروز اثرات مشابه در انسان را همراه لذا ارزیابی پتانسیل سمیت ژنتیکی ترکیبات پیش از ورود به بازار بسیار حائز اهمیت بوده و معمولاً بایستی با بیش از یک روش کلاسیک مورد ارزیابی قرار گیرد. مضاف بر این، دستورالعمل‌های

مدون ارزیابی سمیت، مطابق با دستورالعمل‌های The Organization for Economic Co-operation and Development (OECD) and بایستی برای نانو مواد به طور جداگانه‌ای بازرنگری و تنظیم شوند که معمولاً ترکیب حداقل یک روش درون تن و یک روش برون تن برای این ارزیابی‌ها ضرورت دارد [۱۲] لذا در راستای برنامه هدفمند تولید فراوده جدید نانو کپسول سنجد در ادامه تحقیقات قبلی و به موازات ارزیابی سمیت عضوی این نانو کپسول، تحقیق حاضر به تعیین سمیت ژنتیکی فراورده پیشنهادی به دو روش درون تن و برون تن پرداخته است.

۲. مواد و روش‌ها

۱.۲. تهیه نمونه نانو کپسول سنجد

جهت ساخت نانو کپسول سنجد، سنجد به پودر تبدیل شد و با استفاده از حلال متانول و با دستگاه سوکسله عصاره آن استخراج شد و سپس حلال مربوطه فیلتر و تبخیر شد. جهت تهیه نانو کپسول عصاره سنجد، برای هر یک میلی گرم از عصاره، دو و نیم میلی گرم از روغن زیتون، و یک و نیم میلی گرم از span به ترتیب در ۱۸، ۱۵، ۱۰ و ۵ میلی لیتر از حلال‌های آلی مختلف از جمله استون، اتیل استات، DMSO حل شد. از طرف دیگر دو و نیم میلی گرم از عصاره سنجد در ۲، ۵، ۱۰ و ۱۵ میلی لیتر از متانول حل شده و به آن اضافه شد. بعد از تهیه فاز آلی، این فاز قطره قطره به ۱۰۰ میلی لیتر آب اضافه شد و سپس یک و نیم میلی گرم از سورفکتانت‌های مختلف (tween80, tween 60, tween20, gelatin,) و ۴ میلی گرم از مونومر DETA و یک و نیم میلی گرم گلیسرین، در دمای اتاق به محلول اصلی اضافه شدند [۱۰]. محلول سوسپانسیون آماده شده تحت فرا صوت قرار گرفته و استون آن تحت خلاء آزاد شد، و این چرخه چهار بار تکرار شد و سپس با آب دیونیزه شده تا چهار برابر رقیق شد [۱۱].

۲.۲. آزمون جهش‌زایی ایمر
با توجه به اینکه نمونه مورد آزمایش در این تحقیق پودر نانو کپسول سنجد جامد بود، ابتدا تا سر حد حلالیت (۰/۷۵ mg/ml)، نمونه در آب مقطر حل شده و پس از تهیه ماکزیمم غلظت، با فیلتر سرسرنگی ۰/۴۵ میکرون از جنس Mixed Cellulose Ester (MCE) که مناسب برای نمونه‌های بیولوژیک و آبی می‌باشد، به داخل لوله فالدکون استریل وارد نموده و با روش فیلتراسیون استریل شد. جهت تهیه نمونه نانو کپسول سنجد حل شده در آب مقطر، بعد از استریل کردن محلول استوک با غلظت ۰/۷۵ mg/ml، در ۶ لوله آزمایش استریل یک میلی لیتر آب مقطر استریل اضافه شد و بعد با استفاده از پیپت یک میلی لیتری استریل و پوآر، به لوله اول یک میلی لیتر از غلظت حداکثر نانو کپسول سنجد افزوده شد و بعد از هم زدن، یک میلی لیتر از این لوله برداشته و به لوله بعدی اضافه شد و این کار ادامه پیدا کرد. به این صورت غلظت هر لوله نصف لوله قبلی بوده و غلظت‌های به دست آمده شامل ۰/۷۵ mg/ml، ۰/۳۷۵، ۰/۱۸۷۵، ۰/۰۹۳۷، ۰/۰۴۶۹ و ۰/۰۲۳۴ تهیه شدند. در ادامه مطالعه، ۱۰۰ لاندا از هر نمونه، ۱۰۰ لاندا از سوسپانسیون میکروبی و ۲۰۰ لاندا هیستیدین-بیوتین داخل لوله‌های میکروتیوب ریخته شد و به مدت ۳۰ دقیقه در انکوباتور قرار گرفت (روش pre-incubation). سپس محتویات لوله مستقیماً به دو و نیم میلی لیتر تاپ آگار ۴۵ درجه اضافه شد و به مدت ۳ ثانیه روی شیکر به خوبی مخلوط و در کمتر از ۳۰ ثانیه روی سطح پلیت مینیمال گلوکز آگار پخش شد. پس از سفت شدن آگار در شرایط استریل (زیر هود لامینار) پلیت‌ها وارونه شده و به مدت ۴۸ تا ۷۲ ساعت در دمای ۳۷ درجه انکوبه شدند. در این آزمون از سدیم آزاید به عنوان کنترل مثبت که یک ترکیب جهش‌زای ژنتیکی با اثرات سرطان‌زایی شناخته شده است و از آب مقطر به عنوان کنترل منفی استفاده شد [۱۳]. جهت اطمینان از نتایج به دست آمده، آزمون ایمر برای هر ۶ غلظت

ها، ۲۰۰ میکرولیتر از هر نمونه به پلیت‌های ۱۲ خانه‌ای کشت سلول و ۲۰ میکرولیتر محلول (FBS) Fetal Bovine Serum و ۵ میکرولیتر محلول فیتوهمانگلوآنتیجین (PHA) به هر یک از نمونه‌ها افزوده شد. پلیت کشت در انکوباتور قرار داده شد و پس از اطمینان از تکثیر سلول‌های لنفوسیت، ۲۴ ساعت بعد از آغاز کشت سلولی به هر نمونه ۰/۶ میکروگرم بر میلی‌لیتر cytochalasin-B اضافه شد و پلیت‌ها دوباره در انکوباتور قرار گرفت. پس از ۲۴ ساعت سلول‌های برداشته شده روی لام‌ها قرار داده شدند. پس از خشک شدن لام‌ها در هوا، سلول‌ها بوسیله محلول اسید استیک/متانول (به نسبت ۱ به ۳) تهیه و ثابت شد و لنفوسیت‌ها توسط محلول گیمسا ۲۰ درصد رنگ‌آمیزی شدند.

۴.۲. مطالعات آماری

داده‌ها به شکل متغیرهای پیوسته با توزیع نرمال بودند که برای هر یک از متغیرها میانگین \pm انحراف معیار از ۳ نمونه در هر یک از گروه‌ها تعیین شد. برای آنالیز آماری از آزمون Independent ANOVA یک طرفه به همراه آزمون Sample t Test استفاده شد و میزان $P < 0/05$ به عنوان اختلاف معنادار آماری در نظر گرفته شد.

۳. نتایج

۱.۳. آزمون جهش‌زایی ایمر

پس از تعیین سطح (MIC) Minimum Inhibitory Concentration و محاسبه محدوده اثرات بازدارندگی نمونه موردنظر، غلظت مجاز جهت انجام مطالعه بر روی سویه‌های باکتری جهت انجام آزمون اصلی مشخص شد. بر این اساس ۶ غلظت مختلف معیار انجام مطالعه قرار گرفت و نتایج مربوط به این ۶ غلظت مختلف نانو کپسول سنجد در مقایسه با کنترل مثبت و کنترل منفی در نمودارهای ۱ و ۲ درج شده

استفاده شده از نانو کپسول سنجد و کنترل‌های منفی و مثبت برای هر سوش TA100 و TA98 دوبار تکرار شدند.

۳.۲. آزمون میکرونوکلوئوس

در این مطالعه تجربی، موش‌های رت ویستار نر و ماده ۴ الی ۶ هفته، در قفس‌هایی از جنس فولاد ضدزنگ، در دمای کنترل شده اتاق (۲۲ درجه سانتی‌گراد) و دارای چرخه ۱۲ ساعته نور و تاریکی در حیوانخانه واحد علوم دارویی دانشگاه آزاد اسلامی نگهداری شدند. حیوانات در طول مطالعه، دسترسی آزاد به خوراک استاندارد و آب داشتند و تمام آزمایشات حیوانی این مطالعه، مطابق با راهنمای کار با حیوانات مصوب کمیته اخلاق دانشگاه و طبق دستورالعمل کار با حیوانات وزارت بهداشت، درمان و آموزش پزشکی انجام شد. در این بخش از مطالعه، کپسول نانو سنجد به صورت روزانه با دوز $1000 \mu\text{g/kg}$ به صورت محلول در آب به مدت ۴۵ روز گاوژ شد. آزمون میکرونوکلوئوس به روش cytokinesis-block در ۳ گروه ۳ تایی رت نر و ۳ گروه ۳ تایی ازرت ماده انجام شد. گروه‌ها شامل کنترل مثبت (کلسیم کریبات)، نمونه (نانوکپسول سنجد) و گروه کنترل منفی (آب مقطر) بود. پس از اتمام ۴۵ روزه گاوژ، آزمایش میکرونوکلوئوس مطابق روش استاندارد و بر روی رت‌ها انجام شد [۱۴]. بدین ترتیب که ابتدا تمام ۱۸ رت به روش نخاعی کشته شدند و با الکل ۷۵ درصد ضدعفونی شدند. در اتاق کشت زیر هود لامینار طحال رت‌ها به روش جراحی خارج و در محیط کشت RPMI1640 قرار داده شد. سپس با تزریق ۲ میلی‌لیتر محیط کشت RPMI1640 در طحال، محتوای سلولی آنها استخراج شد. محصول این مرحله توسط پیپت پاستور به آرامی بر روی ۲ تا ۳ میلی‌لیتر فایکول در لوله فالكون قرار گرفت و توسط دستگاه سانتریفیوژ با دور ۳۰۰۰ و زمان ۳ دقیقه جداسازی شد سپس پلاک سلولی حاصل در ۱ میلی‌لیتر محیط کشت حل شد. پس از جداسازی لنفوسیت

• در کمترین غلظت یعنی 0.23 mg/ml ، در سویه TA98 تعداد کلونی‌ها ۷۳ عدد و در سویه TA100 میانگین تعداد کلونی‌ها ۱۳۵ عدد تعیین شد. در همه غلظت‌ها کاهش تعداد کلونی بین گروه نمونه و کنترل مثبت (ماده جهش‌زای سدیم آزاید)، تفاوت کاملاً معنی‌دار ($P \leq 0.001$) مشاهده شد و به وضوح اثرات آنتی‌موتازنیک نانو کپسول سنجد در محیط برون‌تن به اثبات رسید.

۲.۳. آزمون میکرونوکلئوس

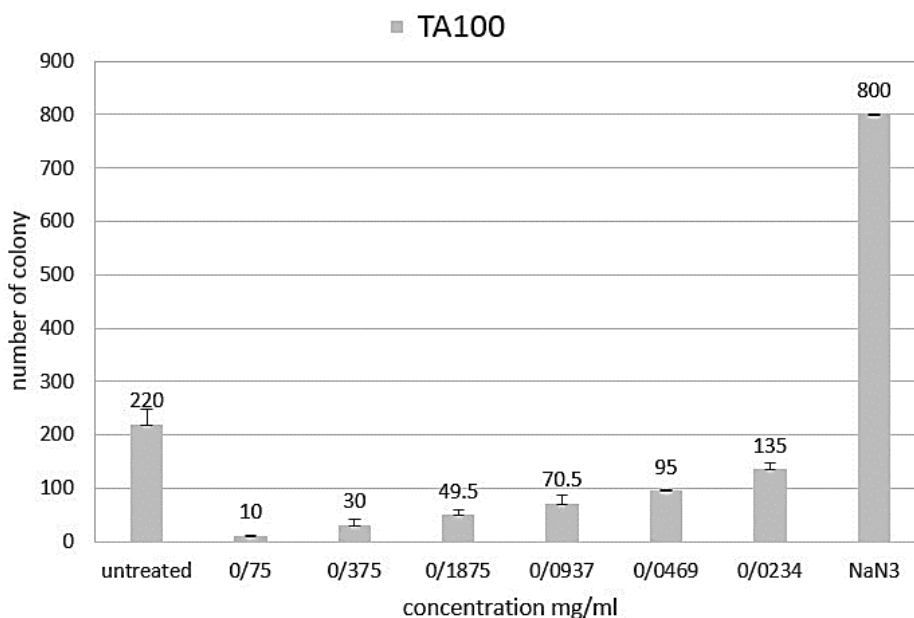
طبق نتایج درج شده در جدول ۱، افزایش تعداد میکرونوکلئوس در گروه کلسیم کربنات و نانو کپسول سنجد در رت‌های ماده در مقایسه با گروه کنترل معنی‌دار ($P \leq 0.01$ و $P \leq 0.001$) ارزیابی شد که نمای کلی آن در شکل ۱ درج شده است. بین تعداد میکرونوکلئوس‌ها، بین دو گروه کلسیم کربنات و نانو کپسول سنجد نیز تفاوت معنی‌دار ($P \leq 0.001$) مشاهده شد. در واقع افزایش تعداد پل‌های نوکلئوپلاسمی در گروه کلسیم کربنات و نانو کپسول سنجد در مقایسه با گروه کنترل تفاوت معنی‌داری ($P \leq 0.01$ و $P \leq 0.001$) مشاهده شد. همچنین بین تعداد پل‌های نوکلئوپلاسمی بین دو گروه کلسیم کربنات و نانو کپسول سنجد تفاوت معنی‌دار ($P \leq 0.05$ و $P \leq 0.001$) قابل مشاهده بود. افزایش تعداد جوانه‌های هسته‌ای در گروه نانو کپسول سنجد در مقایسه با گروه کنترل تفاوت معنی‌داری را نمایش داد ($P \leq 0.01$ و $P \leq 0.001$).

طبق نمودار ۳، افزایش تعداد میکرونوکلئوس در گروه نانو کپسول سنجد در مقایسه با گروه کنترل در رت‌های نر تفاوت معنی‌دار ($P \leq 0.05$ و $P \leq 0.01$) بود. همچنین تعداد میکرونوکلئوس‌ها بین دو گروه کلسیم کربنات و نانو کپسول سنجد تفاوت معنی‌دار ($P \leq 0.05$) داشت. افزایش تعداد پل‌های نوکلئوپلاسمی در گروه نانو کپسول سنجد در مقایسه با گروه کنترل تفاوت معنی‌داری ($P \leq 0.01$) را نمایش داد و

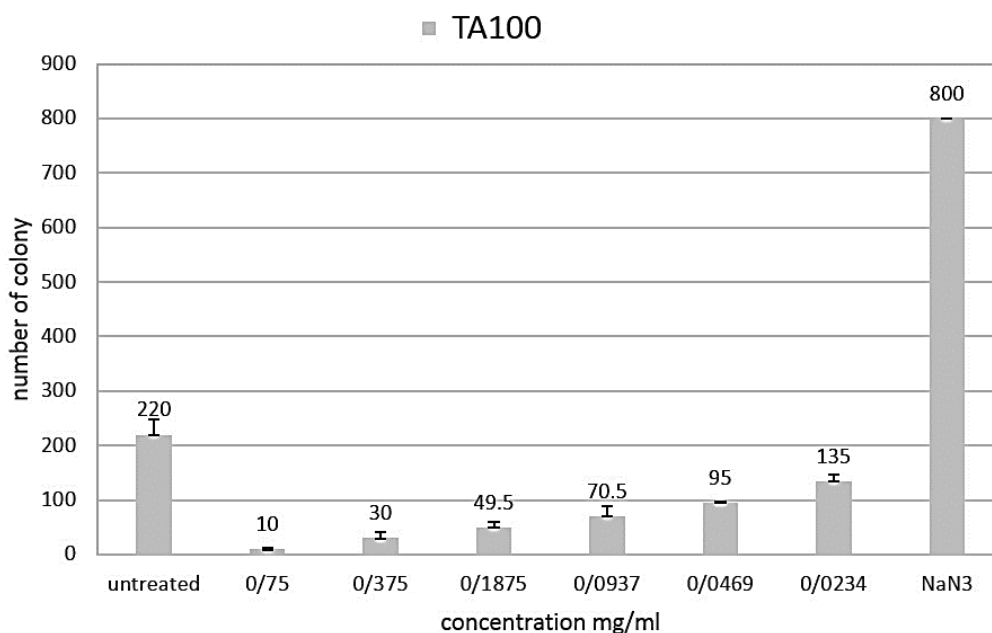
است. ماده مورد آزمون بدون بروز اثرات جهش‌زایی، از اثرات آنتی‌موتازنیسته وابسته به غلظت برخوردار بود به صورتی که در دوز 0.75 mg/ml تعداد کلونی‌های برگشتی در هر دو سویه TA100 و TA98 بسیار کم بوده و این حاکی از اثرات قریب صددرصدی آنتی‌موتازنیک نانو کپسول سنجد است (نمودارهای ۱ و ۲). این نتیجه در شرایطی حاصل شد که در سایر پلیت‌های حاوی ماده موتازن NaN_3 و ماده آنتی‌موتازن، بخصوص در غلظت‌های بالا، فرکانس جهش‌زایی به وضوح کاهش یافته و از تعداد کلونی‌های برگشت یافته در مقایسه با پلیت‌های کنترل مثبت هر سوش کاسته شد. در واقع کاهش تعداد کلونی‌های ایجاد شده در پلیت‌ها نسبت به پلیت کنترل مثبت بیانگر اثرات آنتی‌موتازنیسته نانو کپسول سنجد است. در این راستا شرح دقیق‌تر نتایج هر یک از غلظت‌ها به صورت زیر بوده است:

- در غلظت 0.75 mg/ml نمونه فقط ۲ کلونی برگشت یافته در پلیت مربوط به سویه TA98 دیده شد و برای سویه TA100 به طور میانگین ۱۰ کلونی برگشت یافته مشاهده شد.
- در غلظت 0.375 mg/ml ، میانگین تعداد کلونی‌ها در سویه TA98، ۱۰ عدد بود و این تعداد در سویه TA100 ۳۰ عدد تعیین شد.
- در غلظت 0.1875 mg/ml از نانو کپسول سنجد، سویه TA98 تعداد کلونی‌ها ۱۹ عدد بود و در سویه TA100 میانگین تعداد کلونی‌ها ۴۹ عدد تعیین شد.
- در غلظت بعدی مصرفی از نانو کپسول سنجد 0.09375 mg/ml ، سویه‌های TA98 و TA100 میانگین تعداد کلونی‌ها به ترتیب، ۳۰ و ۷۰ عدد بود.
- در غلظت 0.0469 mg/ml ، تعداد کلونی‌ها در دو سویه TA98 و TA100 به ترتیب ۵۰ و ۹۵ عدد شمارش شد.

افزایش تعداد جوانه‌های هسته‌ای در گروه نانوکپسول سنجید دو گروه کلسیم کربنات و کنترل تفاوت معنی‌دار ($P \leq 0/05$) در مقایسه با گروه کنترل تفاوتش بازم معنی‌دار ثبت شد (نمودارهای ۴ و ۵). ($P \leq 0/05$) بود. در آخر بین تعداد جوانه‌های هسته‌ای بین



نمودار ۱. تعداد کلونی‌های برگشتی در غلظت‌های ۰/۰۲۳۴ - ۰/۷۵ mg/ml در حضور ماده موتاژن سدیم آزاید در سویه TA100.

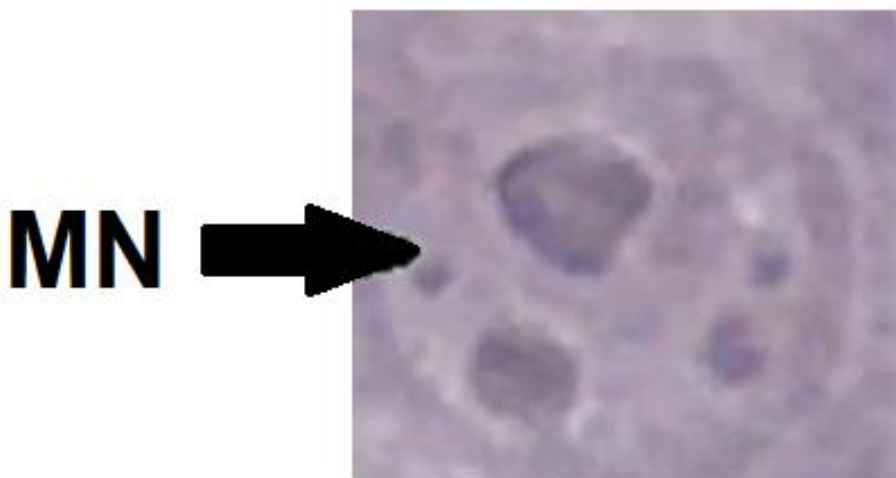


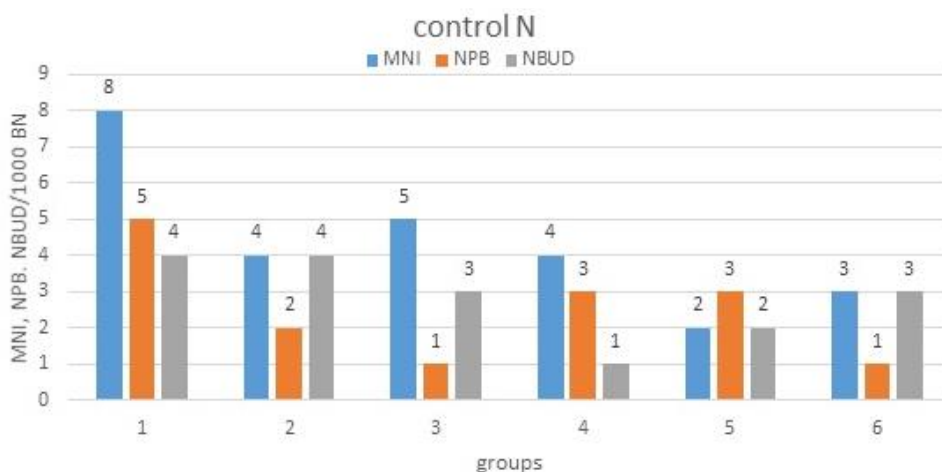
نمودار ۲. تعداد کلونی‌های برگشتی در غلظت‌های ۰/۰۲۳۴ - ۰/۷۵ mg/ml در حضور ماده موتاژن سدیم آزاید در سویه TA98.

جدول ۱. نتایج آزمون میکرونوکلئوس در گروه ماده

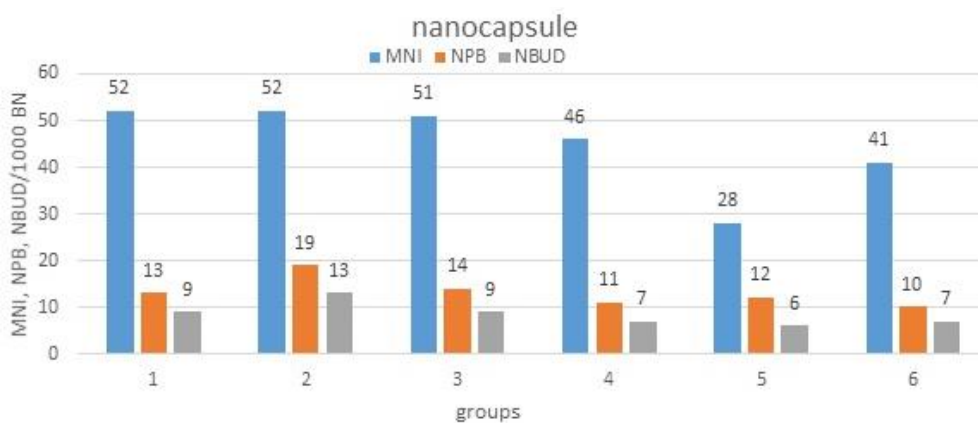
کنترل (میانگین \pm SE)	موش های ماده تحت مداخله با نانو کپسول سنجد (میانگین \pm SE)	موش های ماده تحت مداخله با کلسیم کربنات (میانگین \pm SE)	شاخص های تغییرات در ساختار ژنتیکی
۷/۲۱ \pm ۹۳۹	۱۸/۳ \pm ۵۱۰	۴۴/۰۴۹ \pm ۷۰۸	سلول های تک هسته ای ^۱
۴/۰۴ \pm ۲۳	۴/۱۶ \pm ۱۹۲	۸/۹۶ \pm ۱۶۲	سلول های دو هسته ای ^۲
۱/۵۲ \pm ۱۲	۹/۰۷ \pm ۱۰۲	۱۷/۵۰ \pm ۵۳	سلول های چند هسته ای ^۳
۱/۵۲ \pm ۱۲	۱۳/۸۹ \pm ۶۲	۴/۵۸ \pm ۲۲	سلول های آپتوتیک ^۴
۱ \pm ۵	۶/۵۵ \pm ۴۹	۱۳/۸۶ \pm ۲۶	سلول های نکروتیک ^۵
۱ \pm ۳	۰/۵۷ \pm ۵۲	۶/۴۲ \pm ۱۶	میکرونوکلئوس ^۶
۱/۱۵ \pm ۱	۳/۲۱ \pm ۱۵	۲/۳۰ \pm ۷	پل های نوکلئوپلاسمیک ^۷
۱ \pm ۳	۲/۳۰ \pm ۱۰	۴/۱۶ \pm ۶	نوکلئار BUD ^۸

- 1 Mononucleated Cells (Mn.C)
- 2 Binucleated Cells (Bn.C)
- 3 Multinucleated Cells (Multi.C)
- 4 Apoptotic Cells
- 5 Necrotic Cells
- 6 Micronucleus
- 7 Nucleoplasmic Bridges
- 8 Nuclear Bud

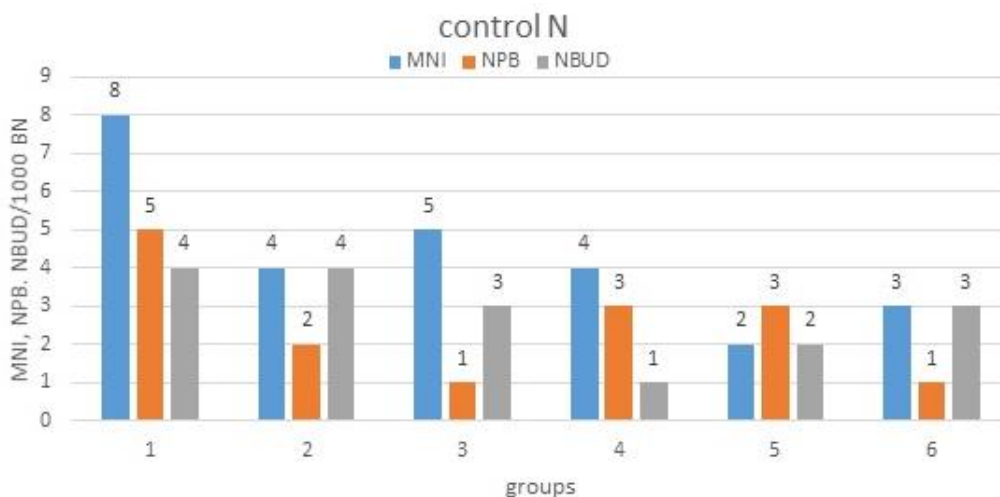
شکل ۱. نمایی از میکرونوکلئوس در گروه نانو کپسول سنجد بزرگنمایی $\times 40$



الف



ب

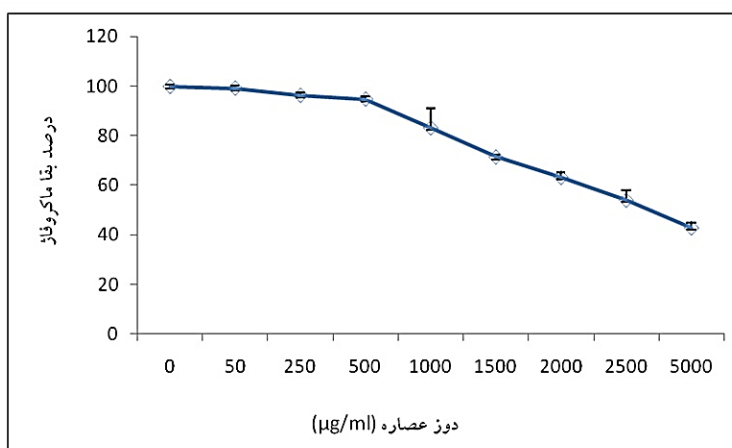


ج

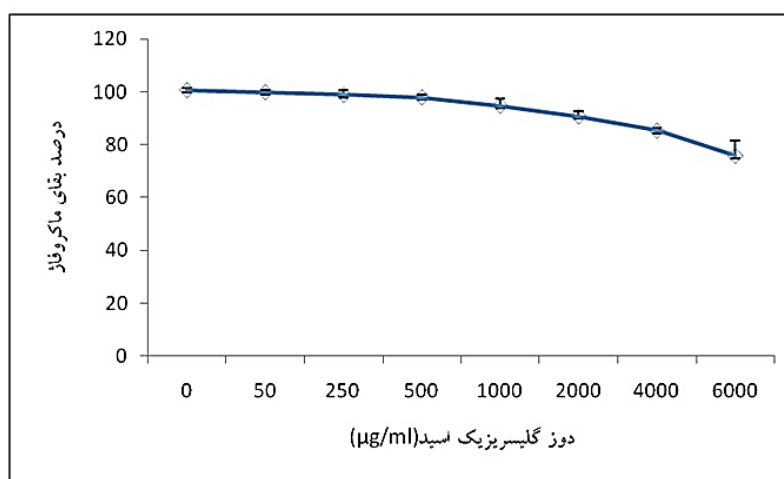
نمودار ۳. مقایسه تأثیرات سیتوژنتیک کلسیم کربنات (الف)، نانو کپسول سنجد (ب) و آب مقطر (ج)

جدول ۱. مقادیر IC_{50} عصاره هیدروالکلی ریشه شیرین بیان، گلیسریریزیک اسید و گلوکانتیم بر پروماستیگوت لیشمانیا ماژور

نوع دارو	IC_{50} 24h $\mu\text{g/ml}$	IC_{50} 48h $\mu\text{g/ml}$
عصاره هیدروالکلی ریشه شیرین بیان	$1250 \pm 0/018$	$1000 \pm 0/016$
گلیسریریزیک اسید	$3000 \pm 0/017$	$3000 \pm 0/017$
گلوکانتیم	$50 \pm 0/043$	$25 \pm 0/009$



نمودار ۴. درصد بقای ماکروفاژهای صفاقی بعد از تیمار با دوزهای مختلف عصاره هیدروالکلی ریشه شیرین بیان. عصاره هیدروالکلی ریشه شیرین بیان در دوز $2500 \pm 0/018 \mu\text{g/ml}$ منجر به بقای ۵۰ درصد از ماکروفاژها شد. همچنین دوز $1000 \mu\text{g/ml}$ و دوزهای بیشتر از آن منجر به کاهش معنی دار ($P < 0/05$) ماکروفاژها شدند.



نمودار ۵. درصد بقای ماکروفاژهای صفاقی بعد از تیمار با دوزهای مختلف گلیسریریزیک اسید. دوزهای کمتر از $2000 \mu\text{g/ml}$ گلیسریریزیک اسید منجر به کاهش معنی داری ($P\text{-value} < 0/05$) درصد ماکروفاژها نشدند.

جدول ۲. درصد آلودگی ماکروفاژ و درصد بقا آماسیگوت‌ها در ماکروفاژها

کنترل	گروه‌ها										
	عصاره ریشه شیرین بیان				گلیسرزیک اسید						
بدون دارو	۲۵	۵۰	۱۰۰	۵۰۰	۱۰۰۰	۲۰۰۰	۳۰۰۰	۵۰۰	۷۵۰	۱۰۰۰	۲۰۰۰
درصد آلودگی ماکروفاژ	۶۷	۶۳	۵۰	۶۸	۶۵	۵۳	۴۶	۶۰	۵۷	۴۶	۵۲
درصد بقا آماسیگوت	۴۷	۳۷	۳۱	۶۴	۴۷	۴۳	۳۸	۴۹	۳۵	۳۰	۲۲

۴. بحث

کنار تنوع مطالعات و تناقضات درمانی در مدل‌های برون‌تن و درون‌تن بر روی عصاره سنجد در سطح جهان، محدودیت در مطالعات ایمنی [۲۳، ۲۲] و در نهایت فقدان اطلاعات در خصوص سمیت ژنتیکی عصاره سنجد در مدل‌های درون‌تن [۲]، همه و همه دلایلی متقن جهت ضرورت انجام مطالعات سیستماتیک بر روی عصاره سنجد است. لذا با توجه به موارد ذکر شده و با توجه به پتانسیل‌های درمانی سنجد، پس از انجام مطالعات مقدماتی در خصوص ساخت و کاراکتریزه کردن نانو کپسول سنجد [۱۰]، انجام موفقیت‌آمیز مطالعات درون‌تن در خصوص افزایش سطح سرمی کلسیم و دانسیته استخوان در رت و یستار در پی مصرف خوراکی نانو کپسول سنجد [۱۱] و همچنین ضرورت به انجام رسیدن مطالعات توسعه‌ای تکمیلی در خصوص سمیت ژنتیکی این نانو کپسول، به طور همزمان به مطالعه سمیت سیستمیک و سمیت ژنتیکی نانو کپسول سنجد پرداخته شد که این مقاله صرفاً به توصیف بخش سمیت ژنتیکی نانو کپسول سنجد دو روش برون‌تن و درون‌تن اختصاص داشت.

بر اساس یافته‌های این تحقیق اگرچه مطالعه برون‌تن بر روی ۶ رقت مختلف از نانو کپسول سنجد، هر گونه اثر جهش‌زایی آن را نفی نموده و دلالت بر ایمنی این ترکیب داشت و اگرچه نمایش واضح اثرات آنتی‌موتازنیک نانو کپسول سنجد در مواجهه مستقیم با سدیم آزاید به عنوان یک ترکیب موتازن کارسینوژن قطعی، تأکید جدی‌تری بر پتانسیل آنتی‌موتازنیک از این گیاه داشت و این موضوع در

اگر چه بر اساس آنالیز اجزا بخش‌های هوایی گیاه *E. angustifolia* L. اثرات درمانی گیاه می‌تواند تا حدی مورد تردید واقع شده و تابعی از شرایط آب و هوایی و خاک و اقلیم منطقه مورد کشت باشد [۱۵] اما کاربردهای فراوانی در خصوص عصاره سنجد بر اساس مطالعات درون‌تن و برون‌تن مطرح است. از جمله مهم‌ترین این مطالعات بر روی نمونه‌های عصاره سنجد کاشت ایران در مدل‌های حیوانی، می‌توان به خواص شل‌کنندگی عضلات [۱۶]، قابلیت استخوان‌سازی آن در مدل اوراکتومی (برداشتن تخمدان) [۱۷]، خاصیت پیشگیرانه آن از بروز هپاتوسلولار کارسینوما بواسطه اثرات آنتی‌موتازنیزیس، آنتی‌اکسیدانی و ضدالتهابی [۱۸] و در نهایت اثرات مهارکنندگی قوی عصاره سنجد در در مدل آرتريت روماتوئید [۳] اشاره نمود. مطالعات گسترده دیگری در مدل برون‌تن نیز اثرات متنوع‌تری از آن را در حیطه ویژگی‌های ضدالتهابی، آنتی‌میکروبیال، آنتی‌اکسیدانی، ضدزخمی، ضددردی مطرح می‌کند [۲] و اثرات آنتی‌موتازنیک عصاره متانولی برگ‌های گیاه [۱۹] و پلی‌ساکاریدهای استخراجی آن [۲۰] ارزش‌های افزوده‌تری را برای این گیاه و میوه آن مطرح می‌کند. با این توصیف، فقدان اثرات موتازنیک کپسول نانو سنجد تحقیق حاضر در کنار اثرات موتازنیک محرز آن در این مطالعه (هرچند به صورت برون‌تن)، به وضوح نتایج تحقیقات گذشته را تأیید می‌کند.

وجود گستره وسیعی از شاخص‌های فیتوشیمیایی و فارماکولوژیکی مهم در نمونه‌های سنجد کشور ایران [۲]، در

شده‌اند، قانع‌کننده باشد اما نتوانست برای سمیت ژنتیکی احتمالی ترکیباتی با مصارف سیستمیک و کاندیدای تجویز خوراکی، که در معرض پاسخ‌های بیولوژیک فردی از جمله متابولیسم قرار می‌گیرند، کافی باشد. نکته جالب توجه در این است که در برخی از مطالعات صورت گرفته با آزمون ایمز بر روی انواع نانوذرات، نتایج جهش‌زایی منفی گزارش شده است اما نتایج سمیت ژنتیکی تعداد زیادی از نانوذرات بررسی شده با آزمون ایمز، در سایر آزمون‌ها بر روی رده سلولی پستانداران در محیط برون‌تن مانند آزمون میکرونوکلوئوس برون‌تن، آزمون کامت و ناهنجاری‌های کروموزومی و همچنین در مطالعات درون‌تن مثبت گزارش شده است، با این وجود، این تناقض بین سمیت ژنتیکی نانو ذرات در آزمون ایمز و سایر آزمون‌های معتبر سمیت ژنتیکی همیشه به چشم نمی‌خورد و در بسیاری از مقالات جدید همچنان به اعتبار و جایگاه این آزمون حتی درخصوص سمیت نانو ذرات فلزی (نانوذره طلا) استناد شده است [۲۵]. یکی دیگر از جنبه‌های جالب و ارزشمند در استفاده از نانو کپسول‌ها به عنوان کاریر پیشنهادی ترکیبات فلاونوئیدی، حذف اثرات سمیت ژنتیکی آنها بوده است [۲۶]. در مطالعه حاضر نانوکپسول سنجد در مقابل ماده موتاژن NaN_3 خاصیت آنتی‌موتاژنیسیک از خود نشان داد و دیده شد که تعدادی از پلیت‌هایی که در آنها نانوکپسول سنجد با غلظت‌های مشخص استفاده شده بودند، دارای تعداد کلونی‌های برگشت یافته کمتری نسبت به پلیت‌های کنترل مثبت مربوط به هر سویه باکتری بودند. به عبارت دیگر، این کمپلکس به خوبی توانست از جهش‌زایی ایجاد شده توسط ماده موتاژن NaN_3 جلوگیری به عمل آورد. بر اساس مطالعه حاضر، خاصیت آنتی‌موتاژنیسیته مشاهده شده از نانوکپسول سنجد وابسته به دوز/غلظت بود و غلظت‌های مختلف از این ماده در برابر میزان یکسان از ماده موتاژن قدرت متفاوتی را نشان دادند که البته خواص آنتی‌موتاژنیسیته نانو کپسول سنجد در

تأیید مطالعات اخیر [۱۳] بود، لیکن تضاد نتایج ایمنی نانو کپسول سنجد در مدل درون‌تن با تأکید بر روی آسیب‌های سیتوژنتیک به روش میکرونوکلوئوس، می‌تواند جنبه‌های جدیدی را درخصوص احتمال سمیت ژنتیکی نانوکاپیرهای محتوی عصاره سنجد مطرح نماید که این پدیده می‌تواند متأثر از فرایند متابولیسی و یا بدون ارتباط با آن باشد.

در خصوص روش مناسب جهت ارزیابی سمیت ژنتیکی نانو مواد چالش‌های زیادی وجود دارد. یک مقاله مروری اخیر به تضاد موجود در نتایج سمیت ژنتیکی نانو کاریرها با روش‌های مطالعاتی مختلف اشاره کرده است [۲۴]. در حاضر روش‌های متعددی جهت تعیین سمیت ژنتیکی یک نانو ماده از جمله آزمون ایمز، آزمون کامت، آزمون میکرونوکلوئوس و بررسی ناهنجاری‌های کروموزومی بکار گرفته شده است اما نتایج این آزمون‌ها بر روی یک ماده واحد در همه موارد با یکدیگر از تطابق لازم برخوردار نیست که نمونه آن در مطالعه حاضر نیز دیده شد. این مقاله مروری، نتایج ۴۵ مطالعه معتبر بر روی سمیت ژنتیکی نانو ذرات با روش‌های برون‌تن و درون‌تن از جمله روش کامت (Comet Assay)، روش ایمز، ردیابی هیستون فسفریله H2Ax ، ردیابی ۸ هیدروکسی ۲ دزوکسی گوانوزین (8-OHdG) و تبادل کروموزوم‌های خواهری (SCE) را مطرح کرده است که همه آنها از روش‌های معتبر و قابل اعتمادی در پروتوکول‌های جهانی ارزیابی سمیت نانو ذرات بوده اندام‌ها نتوانستند ابهام لازم درخصوص سمیت ژنتیکی احتمالی نانوذرات را مرتفع نمایند [۱۵]. ما نیز در یک مطالعه در سال ۲۰۱۵ به اثرات موتاژنیک و آنتی‌موتاژنیک نانو نقره با تمرکز بر خواص فیزیکوشیمیایی آن پرداختیم و با استفاده از ۴ سویه مختلف سالمونلا تایفی موریوم به روش ایمز، اثرات احتمالی آنتی‌موتاژنیک نانو سیلور را مقایسه کردیم. اگرچه نتایج این مطالعه توانست برای مصرف نانوسیور جهت کاربردهای خارج بدنی و برای ترکیباتی که برای سطوح و مصارف خارجی در نظر گرفته

جهش‌زایی نانوکپسول سنجد در آزمون ایمز به تنهایی و با وجود ارزیابی‌های سیتوژنتیک در آزمون میکرونوکلئوس که بر روی لئوسیت‌های استخراج شده از طحال موش انجام شد و افزایش معنی‌دار میکرونوکلئوس، پل‌های نوکلئوپلاسمی و جوانه‌های هسته‌ای در هر دو گروه نر و ماده تأیید نمود مانعی جدی جهت پیشبرد فاز توسعه‌ای و تجاری‌سازی فرآورده حاصل در شکل فعلی خواهد بود.

۵. نتیجه‌گیری

علی‌رغم مشاهده اثرات آنتی‌موتاژنیک وابسته به دوز حاصل از هر شش غلظت مورد استفاده از نانوکپسول سنجد در هر دو سویه TA98 و TA100 و انطباق این نتیجه با مطالعات دیگران، تضاد نتایج با یافته‌های آزمون میکرونوکلئوس که بر روی لئوسیت‌های استخراج شده از طحال Rat انجام شد مانعی جدی جهت ادامه مطالعات توسعه‌ای محصول در وضعیت فعلی خواهد بود چراکه این تضاد می‌تواند ناشی از تولید متابولیت‌های سمی با خاصیت جهش‌زایی در محیط درون تن ناشی از نانوکپسول یا نانو کاریرهای موجود در آن باشد. تکمیل مطالعات سم‌شناسی درون تن حاضر با دوزهای روزانه کمتری از کپسول نانو سنجد، به آزمون گذاشتن آن در همین مدل درون‌تن و یا با استفاده از سایر روش ارزیابی سمیت ژنتیکی جهت تعیین پاسخ‌های سمی و آستانه ایمنی این فرآورده گیاهی (No Observed Adverse Effect Level/NOAEL) ضروری به نظر می‌رسد.

مشارکت نویسندگان

دکتر نگار زمانی به عنوان محقق اصلی، جمع‌آوری نمونه، کلیه مطالعات آزمایشگاهی و نگارش درفت اولیه مقاله را عهده‌دار بوده‌اند.

غلظت‌های برابر اثر بیشتری روی سویه‌های TA98 نسبت به TA100 نشان داد و کمترین تعداد کلونی‌های برگشت یافته در هنگام استفاده از غلظت 0.75 mg/ml نانوکپسول سنجد، برای هر دو سویه به کار برده شده سالمونلاتیفی موریوم بود. تعداد کلونی‌ها در حداکثر غلظت مصرفی، در سویه TA98 از سویه TA100 کمتر بود، بدین صورت که هنگام استفاده از غلظت 0.75 mg/ml نمونه فقط ۲ کلونی برگشت یافته در پلیت مربوط به سویه TA98 دیده شد و برای سویه TA100 به طور میانگین ۱۰ کلونی برگشت یافته مشاهده شد. با این استدلال ضرورت دارد تا اثرات آنتی‌موتاژنیک عصاره سنجد در فرم غیرنانویی نیز با شکل نانویی آن مقایسه شود تا بتوان به نقش این فرایند در بروز اثرات مشهود آنتی‌موتاژنیک با توجه به مطالعات اخیر پی برد. نکته مهم دیگر در این خصوص عدم وجود آنزیم‌های میکروزومال کبدی (S9 Fraction) است که می‌تواند بر وجود یا عدم وجود اثرات موتاژنیک یا آنتی‌موتاژنیک در فقدان آنزیم‌های میکروزومال صحنه‌گذاری کند و این پاسخ نمی‌تواند الزامی برای تکرار نتیجه در مدل درون‌تن باشد. در مطالعه اوکمن و همکاران در سال ۲۰۱۳ نیز اثرات آنتی‌موتاژنیک عصاره متانولی سنجد در برابر سدیم آزاید بر روی سویه TA100 و صرفاً بدون استفاده از S9 بود که با نتایج حاضر عیناً مطابقت دارد [۲۷].

با توجه به آنچه در بخش اول مطالعه به عنوان اثرات آنتی‌موتاژنیک نانو کپسول سنجد مشاهده شد دور از ذهن نیست که این اثر پوشش دهنده در مطالعه حاضر نیز رخ شده باشد لیکن با توجه به طول مدت تجویز خوراکی نانوکپسول سنجد به موش (۴۵ روز) و دوز قابل توجه آن به عنوان یک نانو ذره (هزار میکروگرم در روز) به نظر می‌رسد این نتیجه با دوزهای کمتر و در زمان‌های کوتاه‌تر، قابل بازنگری باشد و یا اینکه با یکی دیگر از روش‌های درون تن ارزیابی سمیت ژنتیکی مورد تأیید قرار گیرد [۲۸]. به هر صورت نتایج منفی

تقدیر و تشکر

این مقاله حاصل انجام پایان‌نامه دکتری حرفه‌ای داروسازی خانم نگار زمانی است که بخشی از هزینه آن توسط واحد علوم دارویی دانشگاه آزاد اسلامی تأمین شده است. فرمولاسیون و مطالعات بر روی نمونه اولیه نانوکپسول مورد استفاده در این مطالعه نیز حاصل پایان‌نامه کارشناسی ارشد خانم صدیقه نیکنام است که با راهنمایی جناب آقای دکتر اکبر اسماعیلی صورت گرفته است.

دکتر معصومه حشمتی به عنوان استاد راهنمای دوم پایان‌نامه نظارت بر کلیه مراحل آزمایشگاهی و آنالیز اولیه داده‌ها را عهده‌دار بوده‌اند.

دکتر سپیده اربابی بیدگلی به عنوان استاد راهنمای اول پایان‌نامه طراحی موضوع و روش کار، آنالیز داده‌ها، بازنویسی و ویرایش مقاله را عهده‌دار بوده‌اند.

تضاد منافع

نویسندگان این مقاله تعارض منافع در انجام مطالعه ندارند.

منابع

1. Hamidpour R, Hamidpour S, Hamidpour M, Shahlari M, Sohraby M, Shahlari N and Hamidpour R. Russian olive (*Elaeagnus angustifolia* L.): From a variety of traditional medicinal applications to its novel roles as active antioxidant, anti-inflammatory, anti-mutagenic and analgesic agent. *J. Trad. Comp. Med.* 2017; 7: 24-9.
2. Niknam F, Azadi A, Barzegar A, Faridi P, Tanideh N and Zarshenas. Phytochemistry and phytotherapeutic aspects of *Elaeagnus angustifolia* L. *Curr. Drug. Discov. Tech.* 2016; 13 (4): 199-210.
3. Motevalian M, Shiri M, Shiri S, Shiri Z and Shiri H. Anti-inflammatory activity of elaeagnus angustifolia fruit extract on rat paw edema. *J. Bas. Clin. Phys. Pharm.* 2017; 28 (4): 377-81.
4. Nikniaz Z, Ostadrahimi A, Mahdavi R, Ebrahimi AA and Nikniaz L. Effects of *Elaeagnus angustifolia* L. supplementation on serum levels of inflammatory cytokines and matrix metalloproteinases in females with knee osteoarthritis. *Comp. Ther. Med.* 2014; 22 (5): 864-9.
5. Chen XY, Han JX, Liu YS, Hajiakber A and Yuan T. Chemical constituents from traditional uighur herbal medicine elaeagnus angustifolia flowers. *Zhon. Zhong. Yao. Za. Zhi.* 2018; 43 (9): 1749-53.
6. Greque de Morais M, Greque de Morais E, Vaz Bda S, Gonçalves CF, Lisboa C and Costa JA. Nanoencapsulation of the bioactive compounds of spirulina with a microalgal Biopolymer Coating. *J. Nanosci. Nanotech.* 2016; 16 (1): 81-91.
7. Pinheiro AC, Bourbon AI, Cerqueira MA, Maricato E, Nunes C, Coimbra MA and Vicente AA. Chitosan/fucoidan multilayer nanocapsules as a vehicle for controlled release of bioactive compounds. *Carbo. Poly.* 2015; 115: 1-9.
8. Bapat P, Ghadi R, Chaudhari D, Katiyar SS and Jain S. Tocophersolan stabilized lipid nanocapsules with high drug loading to improve

- the permeability and oral bioavailability of curcumin. *Int. J. Pharm.* 2016; 16 (1): 81-91.
9. Amin DR, Higginson CJ, Korpusik AB, Gonthier AR and Messersmith PB. Untemplated resveratrol-mediated polydopamine nanocapsule formation. *ACS App. Mate. Inter.* 2018; 10 (40): 34792-801.
10. Esmaeili A and Niknam S. Characterization of nanocapsules containing *Elaeagnus angustifolia* L. extract prepared using an emulsion-diffusion process. *Flav. Frag. J.* 2013; 28 (5): 309-15.
11. Esmaeili A and Niknam S. 2014. Preparation of polyamide nanocapsules of *Elaeagnus angustifolia* L. delivery with in vivo studies. *Ind. Cro. Pro.* 2014; 55: 49-55.
12. Dusinska M, Mariussen E, Rundén-Pran E, Hudecova AM, Elje E, Kazimirova A, El Yamani N, Dommershausen N, Tharmann J, Fieblinger D, Herzberg F, Luch A and Haase A. In vitro approaches for assessing the genotoxicity of nanomaterials. *nanot.* 2019; protocol : 83-122. [DOI: 10.1007/978-1-4939-8916-4_6].
13. Alebouyeh F, Bidgoli SA, Ziarati P, Heshmati M and Qomi M. Mutagenicity assessment of drinking water in combination with flavored black tea bags: a cross sectional study in tehran. *As. Pac. J. Can. Prev.* 2015; 16 (17): 7479-84.
14. Speit G, Zeller J and Neuss S. The *in vivo* or *ex vivo* origin of micronuclei measured in human biomonitoring studies. *Muta.* 2011; 26 (1): 107-10.
15. Chen XY, Han JX, Liu YS, Hajiakber A and Yuan T. Chemical constituents from traditional Uighur herbal medicine *elaeanus angustifolia* flowers. *Zhongguo Zhong Yao Za Zhi.* 2018; 9 (43): 1749-53.
16. Hosseinzadeh H, Ramezani M and Namjo N. Muscle relaxant activity of *Elaeagnus angustifolia* L. fruit seeds in mice. *J. Ethnopharmacol.* 2003; 84 (2 - 3): 275-8.
17. Dabbaghmanesh MH, Noorafshan A, Talezadeh P, Tanideh N, Koohpeyma F, Iraj A, Bakhshayeshkaram M and Montazeri-Najafabady N. Stereological investigation of the effect of *Elaeagnus angustifolia* fruit hydroalcoholic extract on osteoporosis in ovariectomized rats. *Avicenna J. Phytomed.* 2017; 7 (3): 261-74.
18. Amereh Z, Hatami N, Shirazi FH, Gholami S, Hosseini SH, Noubarani M, Kamalinejad M, Andalib S, Keyhanfar F and Eskandari MR. Cancer chemoprevention by oleaster (*Elaeagnus angustifolia* L.) fruit extract in a model of hepatocellular carcinoma induced by diethylnitrosamine in rats. *EXCLI J.* 2017; 16: 1046-56.
19. Okmen G, Turkcan O, Ceylan O and Gork G. The antimicrobial activity of liquidambar orientalis mill. against food pathogens and antioxidant capacity of leaf extracts. *Afr. J. Tradit. Complement Altern. Med.* 2004; 11 (5): 28-32.
20. Du H, Chen J, Tian S, Gu H, Li N, Sun Y, Ru J and Wang J. Extraction optimization, preliminary characterization and immunological activities *in vitro* of polysaccharides from *Elaeagnus angustifolia* L. pulp. *Carbohydr Polym.* 2016; 151: 348-57.

21. Talaei-Khozani T, Vojdani Z, Dehghani F, Heidari E, Kharazinejad E and Panjehshahin MR. Toxic effects of *Elaeagnus angustifolia* fruit extract on chondrogenesis and osteogenesis in mouse limb buds. *Tokai J. Exp. Clin. Med.* 2011; 6 (3): 63-70.
22. Torbati M, Asnaashari S and Heshmati Afshar F. Essential oil from flowers and leaves of *Elaeagnus angustifolia* (Elaeagnaceae): composition, radical scavenging and general toxicity activities. *Adv. Pharm. Bull.* 6 (2): 163-9.
23. Luo T, Gao L, Chen X, Xu K and Niu M. Genotoxicity of nanocarriers. *Curr. Drug Metab.* 2018; 19 (2): 110-23.
24. George JM, Magogotya M, Vetten MA, Buys AV and Gulumian M. From the cover: an investigation of the genotoxicity and interference of gold nanoparticles in commonly used *in vitro* mutagenicity and genotoxicity assays. *Toxicol. Sci.* 2017; 156 (1): 149-66.
25. Dalcin AJF, Vizzotto BS, Bochi GV, Guarda NS, Nascimento K, Sagrillo MR, Moresco RN, Schuch AP, Ourique AF and Gomes P. Nanoencapsulation of the flavonoid dihydromyricetin protects against the genotoxicity and cytotoxicity induced by cationic nanocapsules. *Colloids Surf B Biointerfaces* 2019; 73: 798-805.
26. Okmen G and Turkcan O. A study on antimicrobial, antioxidant and antimutagenic activities of *Elaeagnus angustifolia* L. leaves. *Afr. J. Tradit. Complement. Altern. Med.* 2013; 11 (1): 16-20.
27. Heshmati M, ArbabiBidgoli S, Khoei S, Rezayat SM and Parivar K. Mutagenic effects of nanosilver consumer products: a new approach to physicochemical properties. *Iran. J. Pharm Res.* 2015; 14 (4): 1171-80.

How to cite this article: Zamani N, Heshmati M, Arbabi Bidgoli S. Genotoxicity assessment of *Elaeagnus angustifolia* L. fruit extract (senjed) nanocapsule by *in vitro* and *in vivo* methods. *Journal of Medicinal Plants* 2020; 19(74): 310-324.
doi: 10.29252/jmp.19.74.310



Institute of
Medicinal Plants

Journal of Medicinal Plants

Journal homepage: www.jmp.ir



Research Article

Genotoxicity assessment of *Elaeagnus angustifolia* L. fruit extract (senjed) nanocapsule by *in vitro* and *in vivo* methods

Negar Zamani¹, Masoomeh Heshmati², Sepideh Arbabi Bidgoli^{3,*}

¹ Faculty of Pharmacy and Pharmaceutical Sciences, Islamic Azad University, Tehran Medical Sciences University (IAUTMU), Tehran, Iran

² Department of Cellular and Molecular Sciences, Faculty of Sciences and Technology, Islamic Azad University, Tehran Medical Sciences University (IAUTMU), Tehran, Iran

³ Department of Toxicology and Pharmacology, Faculty of Pharmacy and Pharmaceutical Sciences, Islamic Azad University, Tehran Medical Sciences University (IAUTMU), Tehran, Iran

ARTICLE INFO

Keywords:

Ames
Genotoxicity
Micronucleus
Nanocapsule of *Elaeagnus angustifolia* L.

ABSTRACT

Background: Although initial studies on *Elaeagnus Angustifolia* L. Fruit Extract (Senjed) Nanocapsule showed its efficacy in osteoporosis in rat model as well as its significant role in elevating the serum calcium levels, there is no study on its possible genotoxic potentials which is necessary for developing all nanopharmaceuticals. **Objective:** This study aimed to evaluate the genotoxicity of Senjed nanocapsule using Ames and Micronucleus tests as two necessary steps for developing it as a new nanopharmaceutical. **Methods:** Salmonella typhimurium TA100 and TA98 strains were used for Mutagenicity and antimutagenicity assays by counting the number of colonies in the sample plates, negative and positive control plates. Micronucleus (MN) test was performed in male and female rats after oral administration of 1000 µg/kg/day of senjed nanocapsule and lymphocyte separation from the spleen of animals. **Results:** Observations from Ames test didn't indicate any mutagenic effect for this nanocapsule, moreover the anti-mutagenicity of the extract in both strains of salmonella typhimurium ($P < 0.001$) showed a concentration dependent antimutagenic properties of this nanocapsule in the presence of sodium Azide but *in vivo* micronucleus test showed a significant increase in the number of MN, Nucleoplasmic Bridges (NPB) and Nuclear Bud formation (NBUD) compared to the control group in both genders ($P \leq 0.001$). **Conclusion:** Based of the possible clinical values of this future nanopharmaceutical, it seems necessary to continue its *in vivo* genotoxicity assessments in lower doses after revising the composition of nanocarriers and before starting any clinical evaluation.

Abbreviations: TNF- α , Tumor Necrosis Factor α ; MMP-1, Matrix Metalloproteinase 1; IL-10, Interlukin10; OECD, The Organization for Economic Co-operation and Development; DMSO, Dimethyl sulfoxide; SLS, Sodium Lauryl Sulfate; DETA, Diethylenetriamine; MCE, Mixed Cellulose Ester; RPMI, Roswell Park Memorial Institute Medium; FBS, Fetal Bovine Serum; PHA, Phytohaemagglutinin; MIC, Minimum Inhibitory Concentration; H2Ax, H2A Histone Family Member X; 8-OHdG, 8-OXO-1 Deoxyguanosine; SCE, Single Chromatid Exchange; NOAEL, No Observed Adverse Effect Level.

* Corresponding author: sepideharbabi@gmail.com, s.arbabi@iautmu.ac.ir

Received 27 February 2019; Received in revised form 28 May 2019; Accepted 29 May 2019

doi: [10.29252/jmp.19.74.310](https://doi.org/10.29252/jmp.19.74.310)

© 2020. Open access. This article is distributed under the terms of the Creative Commons Attribution-NonCommercial 4.0 International License (<https://creativecommons.org/licenses/by-nc/4.0/>)